

بررسی شرایط محیطی بر روی مقاومت چاه ارت با استفاده از شبیه ساز چاه ارت

مسلم محمدی دامنه^۱، غلامحسین حلوانی^{۲*}، حسین فلاح زاده^۳، مهدیه محمدزاده^۴

چکیده

مقدمه: سالانه بسیاری از موارد مرگ و میر در دنیا به دلیل برق گرفتگی رخ می دهد که علت آن را می توان برقراری مسیر جریان بین فرد و زمین دانست؛ بنابراین احداث سیستم حفاظتی زمین با استفاده از چاه ارت حائز اهمیت بالایی است. هدف این مطالعه بررسی شرایط محیطی موثر بر مقاومت چاه ارت به روش شبیه سازی می باشد.

روش بررسی: در این پژوهش ۱۹۲ آزمایش مختلف با ۱۰ بار تکرار انجام شد. پارامترهای مورد ارزیابی شامل نوع خاک، نوع مواد کاهنده، عمق، رطوبت، نوع الکتروود، تراکم خاک و شکل قرارگیری الکتروود می باشد که با تغییر هر یک، مقدار مقاومت با استفاده از دستگاه تست ارت بر روش سه نقطه ای اندازه گیری گردید. داده های به دست آمده مورد آنالیزهای آماری قرار گرفت و نتایج به صورت جداول ارائه شد.

نتایج: نتایج حاصل از آزمایشات نشان داد که تراکم خاک و رطوبت موثرترین پارامترها در تعیین مقاومت چاه ارت می باشند؛ به گونه ای که با تغییر جداگانه و یا همزمان این دو پارامتر، مقدار مقاومت بسیار کاهش می یابد. همچنین با افزایش تراکم و عمق قرارگیری میزان مقاومت در تمامی آزمایشات روند کاهشی داشت. طبق این مطالعه، در میان انواع خاک، شن به دلیل مقاومت بالا، به عنوان بدترین نوع خاک تعیین شد.

نتیجه گیری: نتایج این مطالعه نشان داد که از بین هفت پارامتر مورد بررسی، تراکم خاک و رطوبت نقش مهم تری در مقاومت چاه و در نتیجه میزان برق گرفتگی دارد که باید مورد توجه بیشتری قرار گیرد.

واژه های کلیدی: مقاومت خاک، سیستم ارتینگ، ایمنی

^۱ دانشجوی کارشناسی ارشد، گروه بهداشت حرفه ای، دانشگاه علوم پزشکی شهید صدوقی یزد، یزد، ایران

^۲ عضو هیئت علمی گروه بهداشت حرفه ای، دانشگاه علوم پزشکی شهید صدوقی یزد، یزد، ایران

^۳ عضو هیئت علمی، گروه آمار زیستی و اپیدمیولوژی دانشگاه علوم پزشکی شهید صدوقی یزد، یزد، ایران

^۴ مرکز تحقیقات عوامل اجتماعی موثر بر سلامت، گروه بهداشت محیط، دانشگاه علوم پزشکی کاشان، یزد، ایران

* (نویسنده مسئول): ۰۳۵۳۸۲۰۹۱۰۱، پست الکترونیک: halvani39@gmail.com

تاریخ پذیرش: ۱۳۹۹/۰۸/۰۳

تاریخ دریافت: ۱۳۹۶/۱۰/۲۴

مقدمه

امروزه استفاده از سیستم ارت یک امر حیاتی جهت حفاظت الکتریکی و همچنین عملکرد صحیح سیستم‌های الکتریکی است که با توجه به نوع زمین کردن، عملکرد دو نوع زمین حفاظتی و الکتریکی با یکدیگر متفاوت می‌باشد. در واقع زمین کردن و ارتینگ از جمله موارد حفاظت در مقابل برق‌گرفتگی محسوب می‌گردد بدین جهت، برای کاهش آسیب‌های ناشی از برق‌گرفتگی، استفاده از سیستم ارتینگ در مجموعه‌هایی که از برق به‌عنوان جریان اصلی و محرک استفاده می‌شود، ضروری است (۱). برای طراحی دقیق سیستم زمین، تعیین توزیع پتانسیل بر روی سطح زمین و مقاومت معادل سیستم ضروری است. آگاهی از این پارامترها، در صورت وجود خرابی در سیستم قدرت، اجازه چک کردن امنیت ارائه شده توسط سیستم زمین را می‌دهد. طراحی سیستم ارتینگ در صنعت برق همواره یکی از نقاط حساس در اجزای اصلی مدار الکتریکی بخصوص در اجرای پست‌های انتقال و فوق توزیع می‌باشد. با توجه به وابستگی این سیستم به پارامترهای متعدد و بر اساس نتایج تجربی ثبت شده توسط وزارت نیرو، مشاهده شده است که علیرغم رعایت استانداردهای مختلف، وجود مشکلاتی گاهاً باعث ایجاد خسارات و صدمات جبران‌ناپذیری بر تجهیزات و افراد حاضر در پست‌های فشار قوی گردیده است (۲). لذا در این مقاله سعی شده است انواع مختلف سیستم‌های ارتینگ مورد بررسی قرار گرفته و روشی نوین جهت اصلاح سیستم ارتینگ ارائه گردد.

مقاومت الکتروود زمین متأثر از مقادیر پتانسیل سطحی زمین می‌باشد که در اثر جریان خطا به وجود می‌آیند. از این رو لازم است قبل از اجرای سیستم زمین تحقیقات گسترده‌ای در زمینه‌ی خاک و عوامل موثر در آن و همچنین ویژگی‌های بیولوژیکی بدن انسان انجام گیرد. سیستم زمین به‌عنوان جزء حیاتی سیستم‌های الکتریکی نقش بسزایی در تأمین ایمنی و کارکرد صحیح و مؤثر تجهیزات الکتریکی و الکترونیکی داشته و می‌بایست به‌طور اصولی و مهندسی مورد بررسی و طراحی قرار گیرد (۳). به دلیل تأثیر بالقوه‌ی طراحی و اجرای صحیح سیستم زمین در افزایش کارایی تجهیزات و حفظ ایمنی پرسنل، استانداردهای متعددی در این زمینه منتشر شده که از جمله آن می‌توان به IEEE80، IEEE142، IEEE1100، BS7430، IEC62305-3 اشاره نمود (۴). جهت محافظت و ایمنی افراد بایستی مقاومت

زمین به کمترین مقدار ممکن برسد تا مسیر جریان از لحاظ الکتریکی کوتاه‌تر و شارش جریان در آن مسیر بیشتر باشد (۵، ۶)؛ بنابراین احداث چاه ارت با مقاومت کم به این معنی است که ایمنی افراد در مقابل عبور جریان و مخاطرات ناشی از حرکت جریان در بدن انسان‌ها کاهش می‌یابد که با در نظر گرفتن بحث ایمنی و حفاظت مردم، یک رویکرد موثر در طراحی سیستم ارتینگ را می‌توان ارائه داد (۷). این رویکرد به توضیح پس‌زمینه‌های تئوری لازم برای محاسبه ولتاژهای ایمنی می‌پردازد. این مقاله اثبات می‌نماید که در طراحی سیستم ارتینگ استفاده از الکتروود عمودی در همه زمان‌ها لازم نیست. Prasad (۲۰۱۲) در مطالعه‌ای به بررسی اهمیت سیستم ارت و تأثیر مستقیم مقاومت خاک بر روی طراحی سیستم ارتینگ پرداخته است (۸). نتایج این مطالعه نشان داد که مقاومت خاک یک بخش بسیار حیاتی برای طراحی هر سیستم ارتینگ می‌باشد. خصوصیات خاک با توجه مقاومت زمین از چند اهم تا چند هزار اهم بسته به نوع ساختار زمین و رطوبت خاک متغیر است. در پژوهشی که توسط Samadinassab انجام شد، به بررسی روش نوینی جهت تست و اندازه‌گیری مقدار مقاومت زمین و ولتاژ گام پرداخته شد (۹) که با استفاده از کوتاه‌ترین مسیر در مش‌های پست فوق توزیع توانسته است مقدار مقاومت زمین را تعیین کند. همچنین در مطالعه‌ای که توسط شرکت توزیع جنوب استان ارائه گردید، نحوه اجرای چاه ارت منطبق بر استانداردهای جهانی مورد بررسی قرار گرفت و اجراکنندگان چاه ارت را مطابق با دستورالعمل‌ها ملزم بر اجرای چاه ارت نمود (۱۰). بنابراین با توجه به اهمیت مسئله و محدود بودن مطالعات در این زمینه، بر آن شدیم تا با احداث یک نمونه چاه ارت به‌صورت عملی و در محیط آزمایشگاهی در یک زمین با رطوبت مناسب احداث کرده و تأثیر عوامل مختلف را بر مقاومت زمین بررسی کنیم.

ساختار ارت و مقاومت زمین

در این بخش به بررسی ساختار سیستم ارت و مقاومت چاه ارت می‌پردازیم. علاوه بر این الزاماتی که جهت اجرای یک چاه ارت مناسب لازم است را مورد بررسی قرار می‌دهیم.

الزامات سیستم‌های ارتینگ

اهداف اصلی یک شبکه زمین ایمن عبارت است از (۴):

میله‌های مسی، صفحه‌های مسی، غلاف یا زره فلزی کابل‌های زیرزمینی و همچنین لوله‌های آب شهری. مقاومت ویژه: مقاومت اندازه‌گیری شده یک مترمکعب زمین که در واحد $\Omega.m$ بیان شده است. مقاومت ویژه خاک عامل کلیدی است که تعیین‌کننده مقاومت شارژ کردن الکتروود خواهد بود و بایستی عمق آن جهت به دست آوردن مقاومت زمین کم هدایت تعیین گردد. مقاومت ویژه خاک به‌طور گسترده‌ای در سراسر جهان و تغییرات فصلی متفاوت است. هرچه مقاومت ویژه کمتر باشد به الکتروودهای کمتری برای رسیدن به مقدار مقاومت ویژه زمین نیاز خواهد بود. این یک مزیت جهت مقدار مقاومت ویژه در مرحله برنامه‌ریزی بوده که جهت تعیین مقدار الکتروود مورد نیاز کاربرد دارد. خاک یکنواخت خاکی است که یک لایه با مقدار ثابت مقاومت ویژه دارد. اندازه‌گیری‌های کمکی با تعریف لایه‌های خاک، نشان می‌دهند که مقاومت ویژه تابعی از عمق است.

مقاومت ارتینگ: از آنجاکه خاک ارائه‌دهنده یک مقاومت در برابر جاری شدن (شار) یک جریان الکتریکی و هادی ایدئال نیست، مقداری مقاومت بین الکتروود زمین و «زمین واقعی» همیشه وجود خواهد داشت. مقاومت شناخته‌شده بین الکتروودها تابعی از مقاومت ویژه خاک، نوع و اندازه الکتروود و عمقی که در آن دفن شده است، می‌باشد (۱۲). جدول ۱ مقادیر مقاومت ویژه برای انواع مختلف خاک را نشان می‌دهد.

جدول ۱. مقادیر مقاومت مخصوص برای انواع مختلف خاک

| مقاومت مخصوص $[\Omega.m]$ | | نوع زمین |
|---------------------------|------------|-------------------------|
| مقدار متوسط | حدود مقدار | |
| ۳۰ | ۵۰-۵ | مرداب و زمین باتلاقی |
| ۱۰۰ | ۲۵۰-۲۰ | خاک رس و زمین زراعی |
| ۲۰۰ | ۳۰۰-۵۰ | ماسه نرم و مرطوب |
| ۵۰۰ | ۱۰۰۰-۴۰۰ | شن یا سنگریزه مرطوب |
| ۱۰۰۰ | ۳۰۰۰-۵۰ | سنگریزه، ماسه یا شن خشک |
| ۳۰۰۰ | ۵۰۰۰-۲۵۰ | زمین سنگلاخ |
| ۱۰۰۰۰ | ۱۰۰۰۰-۵۰۰ | صخره |

طراحی میله سیستم زمین و حوزه نفوذ: تعیین چگونگی تأثیر الکترون‌ها بر تخلیه الکتروودها به زمین، در حوزه نفوذ معرفی شده است. حوزه نفوذ را می‌توان بیش از ۱/۱ برابر طول میله و با داشتن حداکثر بهره‌وری از سیستم زمین در نظر گرفت. میله مسی، به‌عنوان یک عنصر استوانه‌ای شکل با شعاع

محافظت پرسنل در برابر خطرات الکتریکی با محدود نمودن ولتاژهای تماس و گام به مقدار ایمن، به‌منظور اطمینان از اینکه اگر خطاهای زمین در پست‌ها یا ایستگاه‌های تولید رخ دهد، فردی که در مجاورت تجهیزات زمین شده قرار دارد در معرض خطر شوک الکتریکی بحرانی نباشد.

سازگاری الکترومغناطیسی (EMC)، محدودیت اختلاف الکترومغناطیسی شبکه تأمین برق، اطمینان از ایمنی و تداوم تجهیزات برق با محدود کردن اضافه ولتاژهایی که می‌تواند تحت شرایط بهره‌برداری شدید و یا در صورت بروز حادثه ظاهر شود. اطمینان از عملکرد صحیح تجهیزات و دستگاه‌های حفاظت الکتریکی با فعال کردن خطاهای زمین، جهت شناسایی و انتخاب اقدامات قطع آن دسته از زون‌های تأسیسات الکتریکی که دچار خطا شده‌اند. به‌منظور ارائه وسیله‌ای برای حمل جریان الکتریکی به زمین تحت شرایط عادی و خطا، بدون تجاوز از هر عامل و محدودیت‌های تجهیزات.

حفاظت از ساختمان در برابر رعدوبرق

اجزا و پارامترهای طراحی سیستم ارتینگ (۱۱)

الکتروود زمین: الکتروود زمین عبارت از یک قطعه جسم هادی است که در زمین قرار داده می‌شود و سیم زمین به آن متصل می‌گردد. الکتروودها دارای اشکال متنوعی می‌باشند و میزان اهم آن‌ها شامل موارد زیر می‌باشد:

طراحی ارت

جهت اجرای یک سیستم ارت مناسب بایستی یک چاه ارت با مقاومت پائین طراحی گردد. لازمه طراحی هر یک از المان‌ها و پارامترها، بررسی روابط ریاضی حاکم بر آن‌ها است که به بررسی این روابط می‌پردازیم:

اندازه‌گیری ارت

برای اندازه‌گیری مقاومت چاه ارت روش‌های گوناگونی وجود دارد که مهم‌ترین آن‌ها عبارت‌اند از: روش دونقطه‌ای، روش تغییر عمق (سه‌نقطه‌ای)، روش چهار نقطه‌ای، روش فواصل مساوی، روش فواصل نامساوی و اندازه‌گیری با استفاده از تستر کلمپی می‌باشد. مطالعه‌ی حاضر با استفاده از روش سه‌نقطه‌ای انجام گرفته است که توضیح این روش به شرح زیر می‌باشد:

روش سه‌نقطه‌ای: در این روش (۱۴) مقاومت زمین چندین بار اندازه‌گیری شده و در هر بار عمق الکترودهای اندازه‌گیری با نسبت مشخصی افزایش می‌یابد؛ با این هدف که جریان تست بیشتر به عمق خاک اعمال و مقدار مقاومت اندازه‌گیری شده، تغییرات مقاومت ویژه را در عمق‌های زیاد مشخص می‌کند.

دلایل استفاده از الکترودهای تست میله‌ای:

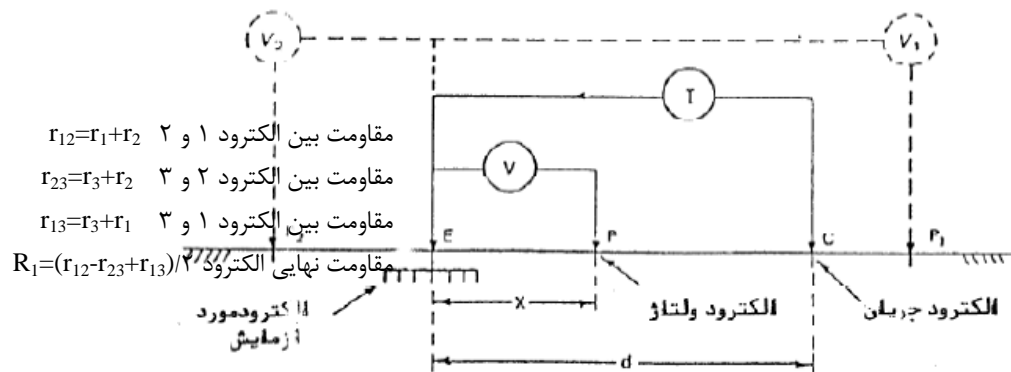
- ۱- محاسبه دقیق مقدار مقاومت میله زمین
- ۲- سهولت کوبیدن میله در خاک

II و طول II و ساخته‌شده از مس طراحی شده است که ضریب هدایت مس $\sigma_r = 5.99 \times 10^7 (\Omega \cdot m)^{-1}$ و مقاومت ویژه مس $\rho_r = 1.66 \times 10^{-8} \Omega \cdot m$ می‌باشد. میله به صورت عمودی در خاک قرار داده می‌شود. طول و شعاع میله به ترتیب 1m و $0.008m$ در نظر گرفته می‌شود.

طراحی صفحه سیستم زمین

صفحه مسی به ابعاد $40 \times 40/5$ سانتیمتر برای مناطق مرطوب شمالی کشور و $50 \times 50/5$ سانتیمتر برای مناطق نیمه‌خشک مانند تهران و $70 \times 70/5$ سانتیمتر برای مناطق کویری استفاده می‌شود.

پس از طراحی صفحات بایستی با توجه به شرایط چاهی به عمق ۴-۸ متر حفر گردد (در اکثر موارد عمق ۶ متر لحاظ می‌شود) که این عمق به صورت تجربی و با توجه به رطوبت خاک تعیین می‌شود. پس از طراحی ابعاد چاه بایستی چاه ارت را پر نمود که این کار پس از تعیین نوع الکترودها و شکل قرارگیری آن به وسیله خاک و مواد کاهنده انجام می‌گیرد. لازم به ذکر است که هر چه رطوبت خاک بیشتر باشد، میزان مقاومت آن کمتر خواهد بود (۱۳).



شکل ۱. نحوه اندازه‌گیری به روش سه نقطه‌ای

ابعاد آزمایشگاهی، عوامل مؤثر بر مقاومت چاه ارت مورد بررسی قرار گیرد. در گام نخست چاهی به عمق ۵۰ سانتی‌متر حفر گردید و با استفاده از پارامترهای مختلف مؤثر بر مقاومت چاه ارت و تغییر آن‌ها مقدار مقاومت چاه ارت اندازه‌گیری شد. پارامترهای مورد ارزیابی به تعداد هفت عدد و شامل نوع خاک، نوع مواد کاهنده، عمق، رطوبت، نوع الکترودها، تراکم خاک و شکل قرارگیری الکترودها می‌باشد. برای این کار با استفاده از شبیه‌ساز چاه ارت ابتدا جهت کنترل چشمی پارامترهای مورد ارزیابی، خاک را درون شبیه‌ساز

موارد کاربرد

در سیستم‌های زمین که فاصله الکترودها بیش از ۱۰۰ متر و برابر ابعاد سیستم زمین است.

روش بررسی

با توجه به مطالعات صورت گرفته تاکنون مطالعه‌ای جهت بررسی تمامی ابعاد مؤثر بر مقاومت چاه به صورت عملی و با استفاده از شبیه‌ساز انجام نشده است. در این مقاله سعی بر آن شد تا با استفاده از یک نمونه چاه ارت واقعی در

به‌عنوان معیار کم و خاک پر رطوبت به‌عنوان معیار زیاد در نظر گرفته شد.

تمامی هفت پارامتر ارائه‌شده بر روی نمونه چاه ارت حفرت‌شده پیاده‌سازی گردید.

با توجه به اینکه شبیه‌ساز چاه ارت روش بسیار مناسبی جهت مقایسه انواع چاه ارت و بررسی عوامل موثر بر آن است، لذا اعداد بدست آمده از این آزمایشات به نتایج واقعی در چاه‌های ارت نزدیک می‌باشد. این روش جهت مقایسه و بررسی انواع چاه‌ها بسیار کارآمد بوده و می‌توان با در نظر گرفتن ضریبی مقدار مقاومت چاه اجرایی در ابعاد بزرگ‌تر و عملی‌تر را تخمین زد. این امر علاوه بر جلوگیری از صرف هزینه هنگفت و گذر زمان زیاد این امکان را فراهم می‌آورد که بهترین نوع چاه ارت با توجه به تغییر پارامترهای موجود انتخاب گردد.

نتایج

تحلیل آماری نتایج حاصل از شبیه‌سازی

با توجه به پارامترهای موجود و تغییر هر یک، تعداد کل آزمایش‌های صورت گرفته ۱۹۲ حالت بوده که با تکرار هر حالت به تعداد ۱۰ مرتبه و سپس انجام اندازه‌گیری، ۱۹۲۰ نتیجه در کل حالات ممکن به دست آمد که در جداول زیر تعدادی از این نتایج آورده شده است. این نتایج، حاصل از اندازه‌گیری‌های صورت گرفته توسط دستگاه تست ارت در نمونه چاه تحت بررسی می‌باشد. عمق چاه شبیه‌ساز در حدود ۰/۵ متر بوده و چندین برابر کوچک‌تر از ابعاد چاه واقعی می‌باشد، می‌توان یک ضریب را در تمامی اعداد موجود ضرب کرده و مقدار مقاومت واقعی چاه را به دست آورد.

مقدار مقاومت ارائه‌شده در هر حالت مقدار میانگین مقاومت اندازه‌گیری شده در ۱۰ بار تکرار آزمایش‌ها می‌باشد. طبق جداول زیر با تغییر هر پارامتر میزان مقاومت تغییر می‌نماید. در این جداول که هرکدام ترکیب نوع خاصی از یک خاک و یک نوع مواد کاهنده است با تغییر سایر پارامترها میزان مقاومت در هر مرحله اندازه‌گیری گردید. در این جداول منظور از عمق کم به معنای فاصله الکتروود از عمق در حدود ۱۵ سانتی‌متر و عمق زیاد در حدود ۵۰ سانتی‌متر از سر چاه می‌باشد. خاک با رطوبت کم به خاک با رطوبت کمتر از ۵۰ درصد و خاک با رطوبت بالا به خاک دارای رطوبت بیش از ۵۰ درصد تلقی می‌شود. نتایج حاصل از این پژوهش با استفاده از نرم‌افزار SPSS و با استفاده از روش

قرارداده و پس از کنترل عوامل جهت اندازه‌گیری مقدار مقاومت زمین، شبیه‌ساز از چاه جدا شده و با استفاده از دستگاه تست ارت و روش سه‌نقطه‌ای اقدام به اندازه‌گیری مقدار مقاومت گردید. برای استفاده از دستگاه تست ارت می‌بایست فاصله‌ی بین الکتروودهای اندازه‌گیری حدود ۵ الی ۱۰ متر باشند که پس از کوبیدن در زمین و با رعایت فاصله طولی مناسب پراب هر یک به ارت تستر وصل شده و پراب سوم نیز جهت اندازه‌گیری مقاومت الکتروود مورد نظر به همان الکتروود وصل می‌گردد. به‌طورکلی ۱۹۲ آزمایش مختلف با ۱۰ بار تکرار انجام شد و نتایج به‌دست‌آمده با استفاده از تحلیل نرم‌افزاری جهت مقایسه ارائه گردید.

۴-۱- روش ارزیابی پارامترهای مؤثر بر مقاومت

الکتروود: در این بررسی از دو نوع الکتروود صفحه‌ای و میله‌ای از جنس مس که ابعاد آن‌ها به ترتیب ۸*۸ سانتی‌متر مربع و ۱۰ سانتی‌متر می‌باشد استفاده شده است.

خاک: شن، ماسه و خاک لای نیز به‌عنوان سه نمونه خاک در این چاه مورد ارزیابی قرار گرفته است که جهت اجرای هرچه دقیق‌تر آزمایش بایستی خاک‌ها کمی مرطوب باشند تا نتایج شبیه‌سازی به واقعیت نزدیک‌تر باشد

الکتروود: منظور از شکل قرارگیری الکتروود به‌صورت افقی و عمودی است که با توجه به عمق قرارگیری در چاه میزان مقاومت چاه را تغییر می‌دهد.

مواد کاهنده: از دو نوع ماده کاهنده بنتونیت و ترکیب نمک و زغال استفاده شده است؛ که جهت ترکیب نمک و زغال بایستی از خاک زغال که دانه‌بندی کربن آن ریزتر است استفاده شود.

تراکم: منظور از تراکم، دانه‌بندی خاک می‌باشد به‌این‌ترتیب که در این آزمایش با تغییر دانه‌بندی و تراکم خاک تأثیر آن بر مقاومت چاه ارت مورد ارزیابی قرار گرفت. جهت متراکم کردن خاک شنی به علت ساختمان غیر چسبندگی از ارتعاش و لرزه استفاده گردید و برای متراکم کردن خاک رس و لای به علت ساختمان چسبنده از بار یا فشار استاتیک استفاده شد.

رطوبت: از دیگر عواملی که تأثیر آن بر روی مقاومت چاه ارت بررسی شده است میزان رطوبت خاک می‌باشد. به‌طورمعمول خاک مورد استفاده در چاه ارت بایستی حتماً مرطوب باشد بنابراین جهت انجام آزمایش و بررسی میزان تأثیر رطوبت بر مقاومت از دو معیار با شاخص‌های کم و زیاد استفاده شده است. بدین ترتیب که خاک کم رطوبت

پذیرفته می‌شود؛ به عبارتی میانگین مقاومت خاک‌های رس، شن و خاک لای با هم برابر نبوده و از طرفی معیار سطح معنی‌داری دو نوع خاک لای و رس نزدیک به هم می‌باشد که نشان می‌دهد میزان تأثیرگذاری این دو نوع خاک بیشتر و شن بدترین نوع خاک است. همچنین در بحث نوع الکتروود نیز چون میزان سطح معنی‌داری بیش از ۰/۰۵ است، فرض صفر رد و فرض مقابل یعنی تأثیر مستقیم نوع الکتروودها بر میزان مقاومت و مساوی نبودن میزان مقاومت‌ها مورد پذیرش است.

واریانس چند طرفه و مقایسه توکی به تحلیل داده‌ها پرداخته شد. به دلیل حجم بالای آزمایشات، می‌توان متغییر مقاومت را در تحلیل داده‌ها به صورت یک توزیع نرمال فرض کرد که این امر توسط نرم‌افزار نیز با تقریب بسیار خوبی تعیین شد. در اینجا ابتدا تک‌تک پارامترها را بر روی میزان مقاومت بررسی نموده و سپس از آنالیز چند طرفه واریانس استفاده شد. با توجه به اینکه پارامتر خاک دارای سه سطح است بایستی از تحلیل آنوا و بقیه پارامترها با توجه به دوسطحی بودن از آزمون T استفاده نمود که بخشی از نتایج آن ذکر شده است.

با توجه به این نتایج و با توجه به اینکه معیار سطح معنی‌داری بیش از ۰/۰۵ است، فرض صفر رد و فرض متقابل

جدول ۲. نتایج حاصله

| شماره آزمایش | نوع خاک | نوع مواد کاهنده | نوع الکتروود | رطوبت خاک | عمق الکتروود | شکل قرارگیری | میزان تراکم | میزان مقاومت برحسب اهم |
|--------------|---------|-----------------|--------------|-----------|--------------|--------------|-------------|------------------------|
| ۱۷ | رس | نمک و زغال | صفحه‌ای | کم | زیاد | افقی | پرتراکم | ۴/۴۲ |
| ۱۸ | رس | نمک و زغال | صفحه‌ای | کم | زیاد | عمودی | پرتراکم | ۴/۴۲ |
| ۱۹ | رس | نمک و زغال | میله‌ای | کم | زیاد | افقی | پرتراکم | ۶/۹۶ |
| ۲۰ | رس | نمک و زغال | میله‌ای | کم | زیاد | عمودی | پرتراکم | ۴/۶۴ |
| ۲۱ | رس | نمک و زغال | صفحه‌ای | کم | کم | افقی | پرتراکم | ۷/۳۶ |
| ۲۲ | رس | نمک و زغال | صفحه‌ای | کم | کم | عمودی | پرتراکم | ۸/۸۵ |
| ۲۳ | رس | نمک و زغال | میله‌ای | کم | کم | افقی | پرتراکم | ۹/۲ |
| ۲۴ | رس | نمک و زغال | میله‌ای | کم | کم | عمودی | پرتراکم | ۱۱/۲۲ |
| ۲۵ | رس | نمک و زغال | صفحه‌ای | زیاد | زیاد | افقی | پرتراکم | ۲/۷۸ |
| ۲۶ | رس | نمک و زغال | صفحه‌ای | زیاد | زیاد | عمودی | پرتراکم | ۶/۶۹ |
| ۲۷ | رس | نمک و زغال | میله‌ای | زیاد | زیاد | افقی | پرتراکم | ۳/۵۶ |
| ۲۸ | رس | نمک و زغال | میله‌ای | زیاد | زیاد | عمودی | پرتراکم | ۲/۷۶ |
| ۲۹ | رس | نمک و زغال | صفحه‌ای | زیاد | کم | افقی | پرتراکم | ۴/۰۸ |
| ۳۰ | رس | نمک و زغال | صفحه‌ای | زیاد | کم | عمودی | پرتراکم | ۴/۶۲ |
| ۳۱ | رس | نمک و زغال | میله‌ای | زیاد | کم | افقی | پرتراکم | ۵/۵۳ |
| ۳۲ | رس | نمک و زغال | میله‌ای | زیاد | کم | عمودی | پرتراکم | ۶/۵۲ |

جدول ۳. نتایج حاصله

| شماره آزمایش | نوع خاک | نوع مواد کاهنده | نوع الکتروود | رطوبت خاک | عمق الکتروود | شکل قرارگیری | میزان تراکم | میزان مقاومت بر حسب اهم |
|--------------|---------|-----------------|--------------|-----------|--------------|--------------|-------------|-------------------------|
| ۳۳ | رس | بنتونیت | صفحه‌ای | کم | زیاد | افقی | کم تراکم | ۱۰/۲ |
| ۳۴ | رس | بنتونیت | صفحه‌ای | کم | زیاد | عمودی | کم تراکم | ۸/۵ |
| ۳۵ | رس | بنتونیت | میله‌ای | کم | زیاد | افقی | کم تراکم | ۶/۰۵ |
| ۳۶ | رس | بنتونیت | میله‌ای | کم | زیاد | عمودی | کم تراکم | ۸/۱۹ |
| ۳۷ | رس | بنتونیت | صفحه‌ای | کم | کم | افقی | کم تراکم | ۲۳/۴ |
| ۳۸ | رس | بنتونیت | صفحه‌ای | کم | کم | عمودی | کم تراکم | ۳۱/۴ |
| ۳۹ | رس | بنتونیت | میله‌ای | کم | کم | افقی | کم تراکم | ۷۶/۵ |
| ۴۰ | رس | بنتونیت | میله‌ای | کم | کم | عمودی | کم تراکم | ۵۰/۴ |
| ۴۱ | رس | بنتونیت | صفحه‌ای | زیاد | زیاد | افقی | کم تراکم | ۶/۶۹ |
| ۴۲ | رس | بنتونیت | صفحه‌ای | زیاد | زیاد | عمودی | کم تراکم | ۴/۴۴ |
| ۴۳ | رس | بنتونیت | میله‌ای | زیاد | زیاد | افقی | کم تراکم | ۵/۱۸ |
| ۴۴ | رس | بنتونیت | میله‌ای | زیاد | زیاد | عمودی | کم تراکم | ۷/۶۹ |
| ۴۵ | رس | بنتونیت | صفحه‌ای | زیاد | کم | افقی | کم تراکم | ۸/۸۹ |
| ۴۶ | رس | بنتونیت | صفحه‌ای | زیاد | کم | عمودی | کم تراکم | ۱۶/۲۲ |
| ۴۷ | رس | بنتونیت | میله‌ای | زیاد | کم | افقی | کم تراکم | ۱۸/۲۸ |
| ۴۸ | رس | بنتونیت | میله‌ای | زیاد | کم | عمودی | کم تراکم | ۴۶/۶ |

جدول ۴. نتایج حاصله

| شماره آزمایش | نوع خاک | نوع مواد کاهنده | نوع الکتروود | رطوبت خاک | عمق الکتروود | شکل قرارگیری | میزان تراکم | میزان مقاومت بر حسب اهم |
|--------------|---------|-----------------|--------------|-----------|--------------|--------------|-------------|-------------------------|
| ۴۹ | رس | بنتونیت | صفحه‌ای | کم | زیاد | افقی | پر تراکم | ۴/۹۹ |
| ۵۰ | رس | بنتونیت | صفحه‌ای | کم | زیاد | عمودی | پر تراکم | ۴/۸۲ |
| ۵۱ | رس | بنتونیت | میله‌ای | کم | زیاد | افقی | پر تراکم | ۵/۱ |
| ۵۲ | رس | بنتونیت | میله‌ای | کم | زیاد | عمودی | پر تراکم | ۶/۷۶ |
| ۵۳ | رس | بنتونیت | صفحه‌ای | کم | کم | افقی | پر تراکم | ۹/۶ |
| ۵۴ | رس | بنتونیت | صفحه‌ای | کم | کم | عمودی | پر تراکم | ۹/۸ |
| ۵۵ | رس | بنتونیت | میله‌ای | کم | کم | افقی | پر تراکم | ۱۲/۵۲ |
| ۵۶ | رس | بنتونیت | میله‌ای | کم | کم | عمودی | پر تراکم | ۱۸/۸۵ |
| ۵۷ | رس | بنتونیت | صفحه‌ای | زیاد | زیاد | افقی | پر تراکم | ۳/۲ |
| ۵۸ | رس | بنتونیت | صفحه‌ای | زیاد | زیاد | عمودی | پر تراکم | ۳/۱۱ |
| ۵۹ | رس | بنتونیت | میله‌ای | زیاد | زیاد | افقی | پر تراکم | ۴/۴۳ |
| ۶۰ | رس | بنتونیت | میله‌ای | زیاد | زیاد | عمودی | پر تراکم | ۶/۶۴ |
| ۶۱ | رس | بنتونیت | صفحه‌ای | زیاد | کم | افقی | پر تراکم | ۶/۰۸ |
| ۶۲ | رس | بنتونیت | صفحه‌ای | زیاد | کم | عمودی | پر تراکم | ۵/۷۸ |
| ۶۳ | رس | بنتونیت | میله‌ای | زیاد | کم | افقی | پر تراکم | ۷/۲۶ |
| ۶۴ | رس | بنتونیت | میله‌ای | زیاد | کم | عمودی | پر تراکم | ۶/۰۴ |

جدول ۵. نتایج حاصله از تحلیل نرم افزار SPSS-آنوای مربوط به خاک

| ردیف | نوع خاک | تعداد | میانگین مقاومت |
|---------------------|---------|-------|----------------|
| ۱ | رس | ۶۴ | ۱۲/۶۹ |
| ۲ | لای | ۶۴ | ۱۲/۶۹ |
| ۳ | شن | ۶۴ | ۱۹/۷۷ |
| مقدار سطح معنی داری | | | ۰/۰۸۵ |

جدول ۶. نتایج حاصله از تحلیل نرم افزار SPSS-آزمون t مربوط به نوع الکتروود

| ردیف | نوع الکتروود | تعداد | میانگین مقاومت |
|---------------------|--------------|-------|----------------|
| ۱ | صفحه‌ای | ۹۶ | ۱۲/۲۷۲ |
| ۲ | میله‌ای | ۹۶ | ۱۸/۰۱ |
| مقدار سطح معنی داری | | | ۰/۰۱۱ |

جدول ۷. نتایج حاصله از تحلیل نرم افزار SPSS-آزمون T مربوط به مواد کاهنده

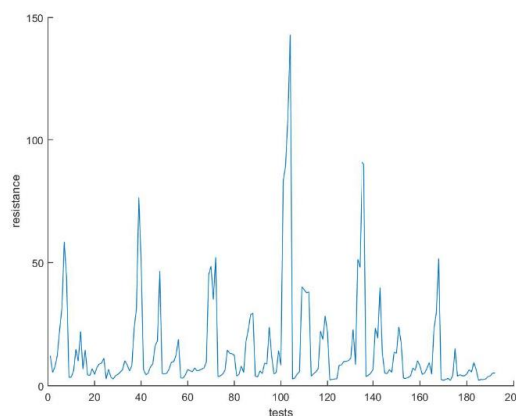
| ردیف | نوع مواد کاهنده | تعداد | میانگین مقاومت |
|---------------------|-----------------|-------|----------------|
| ۱ | نمک و ذغال | ۹۶ | ۲۲/۸۸ |
| ۲ | بنتونیت | ۹۶ | ۱۷/۸۶ |
| مقدار سطح معنی داری | | | ۰/۵۰۶ |

جدول ۸. نتایج حاصل از تحلیل نرم افزار SPSS-آزمون T پارامتر رطوبت

| ردیف | رطوبت | تعداد | میانگین مقاومت |
|---------------------|------------|-------|----------------|
| ۱ | رطوبت کم | ۹۶ | ۲۱/۳ |
| ۲ | رطوبت زیاد | ۹۶ | ۸/۹۷ |
| مقدار سطح معنی داری | | | ۰/۰۰ |

زمین است که خاک با رطوبت بالا دارای مقاومت کمتری نسبت به همان نوع با خاک دارای رطوبت کم می‌باشد. از طرفی خاک دارای تراکم بالا نسبت به خاک دارای تراکم پائین دارای مقاومت پایین‌تری بوده که این نتایج با توجه به محاسبات حاصله از نرم‌افزار قابل استنباط است.

با توجه به بررسی سایر نتایج به دست آمده از نرم‌افزار می‌توان این‌گونه استنباط کرد که عمق قرارگیری الکتروود به صورت یک پارامتر تأثیرگذار در تعیین مقدار مقاومت چاه ارت می‌باشد به گونه‌ای که در تمامی حالات با افزایش عمق مقدار مقاومت کاهش می‌یابد. همچنین میزان رطوبت خاک نیز از جمله عوامل بسیار تأثیرگذار در تعیین مقدار مقاومت



نمودار ۱. مقایسه نتایج ارائه شده در کل آزمایشات

می‌باشد (۸). عملکرد مطلوب این سیستم، تحت تاثیر عوامل مختلفی مانند طول الکتروود (۱۷-۲۰)، مقاومت خاک از جمله محتوای شیمیایی، دما، جغرافیا و رطوبت خاک (۲۱-۲۴) و همچنین مواد الکتروودی مورد استفاده (۲۵) می‌باشد.

نتایج حاصل از این مطالعه حاکی از آن است که رطوبت و تراکم از مهم‌ترین فاکتورهای تعیین‌کننده‌ی مقدار مقاومت زمین محسوب می‌گردند؛ به‌طوری‌که حتی تغییر جزئی در مقدار این پارامترها، تغییر چشمگیر مقاومت زمین را به همراه دارد. در مطالعه‌ای که توسط sundaravaradan صورت گرفت، مشاهده شده است که وقتی میزان رطوبت خاک به زیر ۲۰ درصد برسد، مقاومت زمین با کاهش محتوای رطوبت به‌سرعت افزایش می‌یابد (۲۵). Opuama و Tarilanyo Afa و Ngobia در پژوهشی که در سال ۲۰۱۳ با هدف بررسی ویژگی‌های خاک بر روی سیستم ارتینگ در ایالت Bayelsa به این نتیجه دست یافتند که مقاومت طبیعی خاک، تابعی از محتوای آب است و در واقع می‌توان مقدار مقاومت را به میزان رطوبت خاک مرتبط دانست (۲۶). ساختار خاک با چندین ویژگی فیزیکی مانند اندازه‌ی دانه، توزیع و یکنواختی دانه‌بندی مشخص می‌گردد که این عوامل بر نحوه‌ی نگهداری رطوبت توسط خاک و در نتیجه میزان مقاومت زمین تاثیر گذارند (۲۵) که نتایج این مطالعات با پژوهش ما همخوانی دارد.

نتایج مطالعه‌ی حاضر نشان داد که از میان ۳ نوع خاک لای، رس و شن؛ شن به دلیل مقاومت بالا به‌عنوان بدترین نوع خاک مشخص گردید که علت آن را می‌توان دانه‌بندی درشت و قابلیت کم در نگهداری رطوبت دانست (۲۷، ۲۵، ۴).

نتیجه‌گیری

این مقاله با هدف ارزیابی عوامل مختلف بر کاهش مقاومت چاه ارت با شبیه‌سازی یک نمونه چاه ارت واقعی در زمین می‌باشد. تعداد ۱۹۲ نوع چاه ارت در این نمونه پیاده‌سازی شد و مقدار مقاومت ارت به‌وسیله تست ارتر و به روش سه‌نقطه‌ای اندازه‌گیری گردید. نتایج حاصله حاکی از آن است که رطوبت و تراکم مهم‌ترین فاکتورهای تعیین‌کننده‌ی مقدار مقاومت زمین هستند به‌گونه‌ای که با تغییر هر یک مقدار مقاومت به‌طور چشمگیری تغییر یافت و باید مورد توجه بیشتری قرار گیرد. طبق نتایج حاصله شن به دلیل داشتن مقاومت بالا، به‌عنوان بدترین نوع خاک ارزیابی گردید.

نمودار شماره یک مقدار مقاومت را در هر ۱۹۲ حالت ممکن ارائه می‌دهد. در این نمودار محور افقی شماره آزمایش و محور عمودی مقدار مقاومت اندازه‌گیری شده توسط دستگاه ارت تستر می‌باشد که با توجه به تحلیل داده‌ها می‌توان دریافت که کمترین مقدار مقاومت مربوط به آزمایش شماره ۱۷۰ و ۱۷۳ است که در این آزمایشات خاک به‌شدت مرطوب بوده و دارای تراکم بالایی است. همچنین با توجه به نتایج حاصله بیشترین مقاومت مربوط به آزمایش ۱۰۴ است که در این آزمایش خاک دارای رطوبت کم و الکتروود در عمق کم صورت گرفته است. با توجه به نتایج ارائه شده و مقایسه با حالات مختلف می‌توان نتیجه گرفت که الکتروود صفحه‌ای در مقایسه با الکتروود میله‌ای به دلیل سطح بیشتر بر روی مقاومت چاه موثرتر بوده و مقدار مقاومت در این نمونه چاه کمتر از حالت با الکتروود میله است. همچنین افزایش رطوبت و عمق قرارگیری الکتروود تاثیر بسزایی در مقدار مقاومت زمین دارد که باعث کاهش چشمگیر مقدار مقاومت می‌شود. از سه نوع خاکی که مورد ارزیابی قرار گرفته است شن به‌عنوان خاک با مقاومت بالا تعیین گردید و نتایج حاکی از آن است که چاه با شن دارای مقاومت زیادی می‌باشد.

بهینه‌ترین حالت

حالت‌های بهینه طراحی سیستم‌های اتصال به زمین در مطالعات مختلف مورد بحث قرار گرفته است (۱۵). با توجه به نتایج به‌دست‌آمده از مطالعه‌ی حاضر، بهینه‌ترین حالت ممکن با ترکیب مواد مختلف به دست می‌آید که در این حالت با ترکیب بنتونیت و زغال و نمک به‌صورت محلول و همچنین خاک لای و خاک رس به‌صورت فشرده و دارای تراکم بالا کمترین مقدار عددی مقاومت‌های چاه ارت در فضای شبیه‌سازی مقدار ۲/۱۹ اهم به دست آمد که با این اوصاف می‌توان در چاه واقعی و با عمق بیشتر به عددی کمتر از این نیز دست پیدا کرد.

بحث

سیستم‌های ارتینگ، نه‌تنها به‌منظور جلوگیری از خطر برق‌گرفتگی افراد در مجاورت تاسیسات و تجهیزات زمینی کاربرد دارد، بلکه جهت حفظ عملکرد صحیح سیستم الکتریکی نیز ضروری می‌باشد (۱۶). دستیابی به یک سیستم ارتینگ بهینه و اقتصادی، مستلزم طراحی و پیاده‌سازی این سیستم در منطقه‌ای است که کمترین مقاومت زمین را دارا

References:

1. Lee CH, Meliopoulos AS. *Safety assessment of AC grounding systems based on voltage-dependent body resistance*. IEEE Transactions on Industry Applications. 2015;51(6):5204-11.
2. Zhang B, Jiang Y, He J, Li Q. *Experimental and numerical study of division factors of fault current and measuring current due to ground wires of transmission lines*. IEEE Transactions on Industry Applications. 2015;51(6):4978-86.
3. Guemes JA, Hernando FE. *Method for calculating the ground resistance of grounding grids using FEM*. IEEE Transactions on Power Delivery. 2004;19(2):595-600.
4. Afa JT, Ngobia FO. *Soil characteristics and substation earthing in Bayelsa state*. European Scientific Journal. 2013;9(9).
5. Xueling ZH, Zhang J, Zeng PI, Jia LI. *Grounding resistance measurement of transmission towers in mountainous area*. TELKOMNIKA Indonesian Journal of Electrical Engineering. 2013;11(8):4439-46.
6. Jianmin W, Weiwei S, Yanping C, Xin J, Jidong S, Dongju W. *Study on locating techniques of single-phase grounding fault in distribution network*. TELKOMNIKA Indonesian Journal of Electrical Engineering. 2014;12(3):1701-7.
7. Dimopoulos A, Griffiths H, Harid N, Haddad A, Ainsley A, Guo D, Mpofo G. *Proposal for probabilistic risk assessment in grounding systems and its application to transmission substations*. IEEE transactions on power delivery. 2012;27(4):2219-26.
8. Prasad D, Sharma HC. *Soil resistivity and earthing system*. International Journal of Management, IT and Engineering. 2012;2(9):369-80.
9. Samadinasab S, Namdari F, Bakhshipour M. *A Novel Approach for Earthing System Design Using Finite Element Method*. Journal of Intelligent Procedures in Electrical Technology. 2017;28(29):53-63.
10. *Electric Power Distribution Company of South of Kerman. Instruction and regulations*. Available online: <https://www.sked.co.ir/Contractor>. Accessed on 11 November 2020.
11. Adegboyega GA, Odeyemi KO. *Assessment of soil resistivity on grounding of electrical systems: A case study of North-East Zone, Nigeria*. Journal of Academic and Applied Studies. 2011;1(3):28-38.
12. Lagace PJ, Mukhedkar D, Hoang HH, Greiss H. *Evaluation of the effect of vertical faults on the voltage distribution around HVDC electrodes using a supercomputer*. IEEE transactions on power delivery. 1990;5(3):1309-13.
13. Nassereddine M, Rizk J, Hellany A. *How to design an effective earthing system to ensure the safety of the people*. In 2009 International Conference on Advances in Computational Tools for Engineering Applications 2009. pp.416-421.
14. Raizer A, Valente Jr W, Coelho VL. *Development of a new methodology for measurements of earth resistance, touch and step voltages within urban substations*. Electric Power Systems Research. 2017;153:111-8.
15. Dawalibi F, Mukhedkar D. *Optimum design of substation grounding in a two layer earth structure: Part I Analytical study*. IEEE Transactions on Power Apparatus and Systems. 1975;94(2):252-61.
16. Rahi OP, Singh AK, Gupta SK, Goyal S. *Design of Earthing System for a Substation: A Case Study*. International Journal of Advanced Computer Research. 2012;2(4):237.
17. Buba SD, Ahmad WW, Ab Kadir MZ, Gomes C, Jasni J, Osman M. *Reduction of earth grid resistance by addition of earth rods to various grid configurations*. ARPN Journal of Engineering and Applied Sciences. 2016;11(7):4533-8.
18. Siew WH, Timoshkin I, Hanaffi FF. *Transient grounding modelling using FEM: infinite boundary condition*. In CIGRE International Colloquium on Lightning and Power Systems 2014 May.
19. El Mghairbi A, Ahmeda M, Harid N, Griffiths H, Haddad A. *Technique to increase the effective length of practical earth electrodes: Simulation and field test results*. Electric power systems research. 2013 1;94:99-105.
20. Puttarach A, Chakpitak N, Kasirawat T, Pongsriwat C. *Substation grounding grid analysis with the variation of soil layer depth method*. In 2007 IEEE Lausanne Power Tech 2007 Jul 1 (pp. 1881-1886). IEEE.
21. Buba SD, Ahmad WW, Ab Kadir MZ, Gomes C, Jasni J, Osman M. *Effect of earth grid conductor spacing on the safety criteria of substation earthing*. In 2014 IEEE International Conference on Power and Energy (PECon) 2014 Dec 1 (pp. 134-139). IEEE.
22. Chen H, Du Y. *Lightning grounding grid model considering both the frequency-dependent behavior and ionization phenomenon*. IEEE Transactions on Electromagnetic Compatibility. 2018;61(1):157-65.

23. Rameli N, Ab Kadir MZ, Izadi M, Gomes C, Azis N. *Effect of soil resistivity on the lightning current along tall towers*. In 2014 International Conference on Lightning Protection (ICLP) 2014 Oct 11 (pp. 451-455). IEEE.
24. Lehtonen M, Pichler M, Schürhuber R. *Ground potential rise and lightning overvoltages in control systems of large power-plants under high soil resistivity*. In 2019 20th International Scientific Conference on Electric Power Engineering (EPE) 2019 May 15 (pp. 1-4). IEEE.
25. Sundaravaradan NA, Reddy MJ. *How is earthing done?* IEEE Potentials. 2018;37(2):42-6.
26. Permal N, Osman M, Kadir MZ, Ariffin AM. *Review of Substation Grounding System Behavior Under High Frequency and Transient Faults in Uniform Soil*. IEEE Access. 2020;8:142468-82.
27. Bonda PR, Mishra MK. *Optimized Design of Earthing System for Substations with High Soil Resistivity and Limited Plot Area*. In 2018 20th National Power Systems Conference (NPSC) 2018 Dec 14 (pp. 1-6). IEEE.

Influence of environmental conditions on the earth pit resistance using earth pit simulator

Mohammadi damaneh M¹, Halvani GH^{2*}, Fallahzade H³, Mohammadzadeh M⁴

¹ Department of Occupational Health, Shahid Sadughi University of Medical Sciences, yazd, Iran

² Department of Occupational Health, Shahid Sadughi University of Medical Sciences, yazd, Iran

³ Department of Epidemiology and Biostatistics, Shahid Sadughi University of Medical Sciences, yazd, Iran

⁴ Social Determinants of Health (SDH) Research Center, and Department of Environment Health, Kashan University of Medical Sciences, Kashan, Iran

Abstract

Introduction: Electrocutation is the cause of many deaths in the world annually, that electric current passing between the body and earth can be the reason; thus, it is of great importance to construct the ground protection system using earth pit. This study aimed to investigate the effective environmental conditions on the earth's pit resistance using the simulation method.

Materials and Methods: In the present study, 192 different experiments were performed and repeated ten times. The parameters evaluated in this study include soil type, reducing agents type, depth, humidity, electrode type, soil density, and electrode placement shape. The resistance value is measured using a three-point ether tester by changing each of them. The obtained data were statistically analyzed, and the results were presented in tables.

Results: According to the results of the experiments, soil density and moisture are considered the most effective parameters in determining the resistance of the earth pit; so that the value of resistance is significantly reduced by changing these two parameters separately or simultaneously. Also, as density and depth of placement increase, the value of resistance in all experiments had a decreasing trend. This study showed that sand was determined as the worst soil type among the soil types due to its high resistance.

Conclusion: According to the results of this study, soil density and moisture among the seven parameters under study play a more important role in pit resistance and consequently the severity of an electric shock that should be given more attention to it.

Keywords: Soil Resistivity, Earthing System, Safety

This paper should be cited as:

Mohammadi damaneh M, Halvani GH, Fallahzade H, Mohammadzadeh M. *Influence of environmental conditions on the earth pit resistance using earth pit simulator*. Occupational Medicine Quarterly Journal. 2021;12(4): 13-23.

*** Corresponding Author:**

Email: halvani39@gmail.com

Tel: +983538209101

Received: 14.01.2018

Accepted: 24.10.2020